

# Нелинейное поглощение в нанокристаллах кремния

**С.Б.Коровин\*, А.Н.Орлов\*, А.М.Прохоров\*, В.И.Пустовой\*,  
М.Константаки\*\*, С.Корис\*\*, Э.Коудумас\*\***

*Методом z-сканирования исследовано нелинейное поглощение света в нанокристаллах кремния, помещенных в глицерин. Из экспериментальных данных рассчитаны коэффициенты нелинейного поглощения как для системы нанокремний в глицерине  $\beta_{Si-gl}$  (фактор объемного заполнения  $f = 2 \cdot 10^{-4}$ ), так и для чистого кремния  $\beta_{Si}$  с гипотетическим фактором объемного заполнения  $f \approx 1$ . При длине волны лазерного излучения  $\lambda = 497$  нм и длительности импульса  $\tau = 0.5$  нс  $\beta_{Si-gl} = 1.2 \cdot 10^{-8}$  см/Bт,  $\beta_{Si} = 7.36 \cdot 10^{-5}$  см/Bт, а для  $\lambda = 532$  нм и  $\tau = 10$  нс  $\beta_{Si-gl} = 5.36 \cdot 10^{-5}$  см/Bт,  $\beta_{Si} = 0.25$  см/Bт. Проведен эксперимент с использованием лазера с  $\lambda = 540$  нм и  $\tau = 20$  нс для двух различных факторов заполнения –  $2 \cdot 10^{-4}$  и  $3 \cdot 10^{-3}$ , и получены коэффициенты нелинейного поглощения  $\beta_{Si-gl} = 2 \cdot 10^{-7}$  и  $3.6 \cdot 10^{-6}$  см/Bт соответственно. Исследованы также спектры оптического поглощения и комбинационного рассеяния в нанокремнии. Теоретический анализ проведенных экспериментов показал, что оптическое поглощение может быть связано с локализацией фотовозбужденных носителей в зоне проводимости. Локализация возникает при воздействии на электрон сильных статических электрических полей внутри наночастицы.*

**Ключевые слова:** нелинейное поглощение, z-сканирование, кремниевые нанокристаллы, большие статические электрические поля, комбинационное рассеяние, LO- и TO-фононы в кремнии.

## 1. Введение

Нелинейные оптические свойства наноразмерных полупроводниковых частиц последние несколько лет вызывают большой интерес исследователей [1–6]. Уменьшение размеров полупроводниковых частиц до порядка нескольких нанометров изменяет структуру энергетических зон и чаще всего приводит к увеличению матричного элемента дипольного момента перехода. Это, в свою очередь, является одной из причин высокой нелинейной восприимчивости наноразмерного полупроводника. В связи с этим интенсивно исследуются различные виды кремниевых нанокомпозитов.

В работе [2] был изучен нанокремний, полученный лазерной абляцией кристаллической мишени, а также ионной имплантацией ионов кремния в плавленый кварц. Установлено, что максимальная нелинейная восприимчивость  $\chi^{(3)}$  наблюдается у наночастиц с диаметром порядка 12 нм, причем в нанокремнии, полученном абляцией, проявляется только идиуцированное просветление, а в ионно-имплантированном кремнии – только нелинейное поглощение. Высокая нелинейная восприимчивость, а также индуцированное просветление и нелинейное поглощение наблюдались в нанодисперсном кремнии, полученном в реакции лазерно-стимулированного осаждения из газовой фазы [4–7]. В работе [5] показана явная зависимость нелинейных свойств нанокремния от материала, покрывающего наночастицу. Анализ предыдущих

работ позволяет утверждать, что оптические свойства наноразмерных полупроводников зависят от их размера [2], материала, покрывающего данный нанокристалл [2, 5], зарядового состояния межфазной границы и от расстояния между частицами [2].

В настоящей работе исследуется оптическая нелинейность кремниевых нанокристаллов, введенных в глицерин с очень низким объемным фактором заполнения – таким, что расстояние между отдельными наночастицами заведомо превышает длину волны используемого лазерного излучения.

## 2. Методика эксперимента

Наночастицы были получены в ИОФ РАН в лаборатории Г.П.Кузьмина путем разложения моносилана ( $SiH_4$ ) в фокусе излучения непрерывного  $CO_2$ -лазера. По данным дифрактометрии и сканирующей электронной микроскопии частицы имеют сферическую форму и размеры 10–40 нм, обладают кристаллической структурой и покрыты тонким слоем естественного окисла [7]. В качестве вязкой жидкости был выбран глицерин, способный создать однородную взвесь нанокристаллов кремния в объеме; показатель преломления глицерина, близкий к показателю преломления стекла, позволяет исключить паразитные отражения на границах раздела сред. Объемный фактор заполнения (отношение объема кремния к объему глицерина)  $f = 2 \cdot 10^{-4}$ . Среда помещалась между двумя плоскопараллельными стеклянными пластинами, толщина слоя  $D$  равнялась 120 мкм.

Для исследования нелинейного оптического поглощения была использована стандартная методика z-сканирования [8], в которой пропускание образцом лазерного излучения измеряется в зависимости от положения образца относительно «точки» фокусировки излучения  $z = 0$ .

\*Центр естественно-научных исследований при Институте общей физики РАН, Россия, 119991 Москва, ул. Вавилова, 38

\*\*Foundation for Research and Technology – Hellas (FORTH), Institute of Electronic Structure and Laser, Heraklion 71110, Crete, Greece

Поступила в редакцию 16 марта 2000 г., после доработки – 2 июля 2001 г.

(т.е. от интенсивности излучения на образце). Диаметр лазерного пучка перед линзой с фокусным расстоянием 40 см был равен 3 мм. Измерения проводились на длинах волн лазерного излучения 497 нм (длительность импульса  $\tau = 0.5$  пс), 540 нм ( $\tau = 20$  пс) и 532 нм ( $\tau = 10$  нс). Спектры оптического пропускания кремниевых нанокристаллов в глицерине изучались с помощью двойного монохроматора ДФС-24. Для изучения спектров комбинационного рассеяния использовались Не–Не-лазер с  $\lambda = 632.8$  нм мощностью порядка 15 мВт и тот же монохроматор.

### 3. Экспериментальные результаты

Экспериментальные кривые нелинейного пропускания глицерина с нанокристаллами кремния для двух максимальных интенсивностей лазерного излучения с длиной волны 497 нм и длительностью лазерного импульса 0.5 пс представлены на рис.1. Следует отметить, что качественное поведение нелинейного поглощения идентично для всех трех указанных выше длин волн и длительностей импульса. На графике  $z$ -сканирования кривая нелинейного поглощения существенно отличается от симметричной кривой, для которой применимы расчетные модели данного метода. При интенсивности излучения 29 ГВт/см<sup>2</sup> наблюдается самоиндукционное просветление. При интенсивности 43 ГВт/см<sup>2</sup> видно, как просветление сменяется нелинейным поглощением, поэтому стандартная методика определения коэффициента нелинейного поглощения для данного образца не годится. В связи с этим нелинейное пропускание лазерного излучения исследуемых образцов было измерено в широком диапазоне интенсивностей. При малых интенсивностях лазерного излучения наблюдается только просветление, с увеличением интенсивности возникают два участка с линейной зависимостью (различным наклоном) прошедшой энергии от падающей, соответствующие, по-видимому, различным режимам нелинейного поглощения образца. Расчет коэффициента нелинейного поглощения производился по формулам из работы [8].

Были получены коэффициенты нелинейного поглощения:  $\beta_{\text{Si}-\text{gl}}$  для системы кремний в глицерине с фактором объемного заполнения  $f = 2 \cdot 10^{-4}$  и  $\beta_{\text{Si}}$  для гипотетической системы с  $f \approx 1$ . При  $\lambda = 497$  нм и  $\tau = 0.5$  пс  $\beta_{\text{Si}-\text{gl}} = 1.2 \cdot 10^{-8}$  см/Вт,  $\beta_{\text{Si}} = 7.36 \cdot 10^{-5}$  см/Вт, а при  $\lambda = 532$  нм и  $\tau = 10$  нс  $\beta_{\text{Si}-\text{gl}} = 5.36 \cdot 10^{-5}$  см/Вт,  $\beta_{\text{Si}} = 0.25$  см/Вт. Эксперимент с использованием лазерного излучения с  $\lambda = 540$  нм и  $\tau = 20$  пс при факторах заполнения

$f = 2 \cdot 10^{-4}$  и  $3 \cdot 10^{-3}$  дал коэффициенты нелинейного поглощения  $\beta_{\text{Si}-\text{gl}} = 2 \cdot 10^{-7}$  и  $3.6 \cdot 10^{-6}$  см/Вт соответственно. Таким образом, увеличение фактора заполнения наночастиц кремния в глицерине в 15 раз приводит к увеличению  $\beta_{\text{Si}-\text{gl}}$  в 18 раз. Полученный нами коэффициент нелинейного поглощения  $\beta_{\text{Si}-\text{gl}} = 3.6 \cdot 10^{-6}$  см/Вт при довольно низком факторе заполнения  $3 \cdot 10^{-3}$  сравним с коэффициентами нелинейного поглощения для хорошо известных CdS и пористого кремния [3], что делает нанокристаллы кремния перспективными для создания приборов по ограничению интенсивности проходящего лазерного излучения.

По нашим измерениям, в нанокристаллах кремния мнимая часть диэлектрической проницаемости составляет  $\sim 10$  ( $\lambda \approx 500$  нм). Следовательно, при оценке коэффициента нелинейного поглощения в используемых нами формулах [8] нужно брать более низкую интенсивность, чем интенсивность падающей на образец световой волны. Это приводит к выводу о том, что реальное  $\beta$  больше измеренного. Отметим, что о существенном увеличении оптической нелинейности третьего порядка диэлектриков с полупроводниками микровкраплениями ранее сообщалось в [9].

### 4. Дополнительные исследования и анализ экспериментальных результатов

Для того чтобы понять механизмы, приводящие к просветлению среды и к высокой оптической нелинейности, были проведены дополнительные исследования, связанные с изучением взаимодействия лазерного излучения с электронной и фононной подсистемами нанокристаллов кремния. Исследовались спектры оптического поглощения и комбинационного рассеяния.

#### 4.1. Оптическое поглощение

Спектр поглощения нанокристаллов кремния в диапазоне длин волн 300–700 нм существенно отличается от спектра поглощения кристаллического кремния. Спектры поглощения наноподы и нанокремния в глицерине были получены ранее [5, 7]. На длине волны  $\lambda = 497$  нм их коэффициент линейного поглощения  $\alpha = 1.85 \cdot 10^5$  см<sup>-1</sup> вдвадцать раз превышал коэффициент поглощения кристаллического кремния. На спектральной кривой поглощения (рис.2) в области энергии 3.18 эВ присутствовал ярко выраженный пик. Можно предположить, что в нанокристаллах кремния он связан с особыми точками в функции электронной плотности (особенностями Ван-

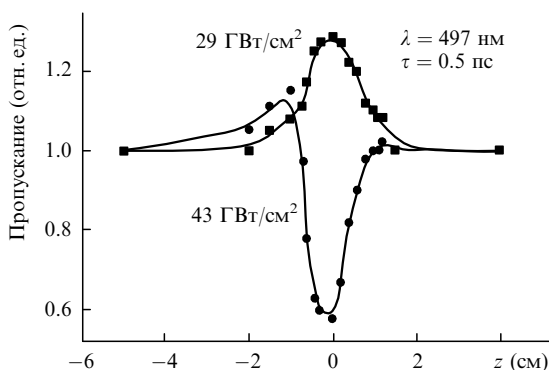


Рис.1. Экспериментальные кривые  $z$ -сканирования (открытая апертура) для двух интенсивностей излучения в воздухе при  $z = 0$ .

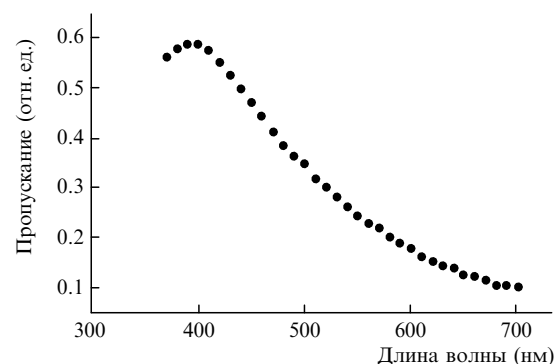


Рис.2. Экспериментальная зависимость оптического поглощения частицами нанокристаллического кремния в глицерине от длины волны.

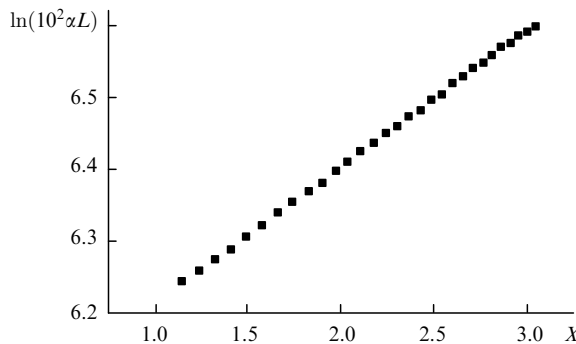


Рис.3. Экспериментальная зависимость  $\ln(10^2 \alpha L)$  от  $X = (1/\lambda_0 - 1/\lambda)^{3/2} \cdot 10^{4.5}$  нм $^{-3/2}$ .

Хова) при 3.31 и 3.41 эВ [10], но смешен (по сравнению с объемным кремнием) в красную область. Были рассмотрены модели [10, 11], описывающие переходы из валентной зоны в зону проводимости с учетом и без учета электрон-дырочного взаимодействия, с локализованными состояниями дефектов в запрещенной зоне в зону проводимости и из валентной зоны на локализованные состояния в зоне проводимости. Ни одна из рассмотренных моделей не дала удовлетворительного описания экспериментальной кривой.

Для объяснения поведения спектров поглощения нанокристаллов кремния в глицерине была привлечена модель внутренней эмиссии в электрическом поле (эффект Зинера), описывающая поглощение излучения электронами, возбуждаемыми глубоко в зону проводимости полупроводника. При этом поглощение света определяется межзонным туннелированием электронов в полупроводнике, находящемся в однородном электрическом поле. Бугеровский коэффициент поглощения  $\alpha$  пропорционален  $\exp[-\gamma(\omega_0 - \omega)^{3/2}/E]$  [11], где  $\gamma = 4(2\mu\hbar)^{1/2}/3e$ ;  $\mu$  – приведенная масса электрона;  $\hbar$  – постоянная Планка;  $E$  – напряженность статического электрического поля;  $\omega_0$  – частота перехода в особой точке, формально соответствующей дну «зоны проводимости» нанокристаллического кремния;  $e$  – заряд электрона;  $\omega$  – частота излучения. На рис.3 изображен результат обработки экспериментальных данных – зависимость  $\ln(10^2 \alpha L)$  от  $(1/\lambda_0 - 1/\lambda)^{3/2} \cdot 10^{4.5}$  нм $^{-3/2}$ , где  $\lambda_0$  – длина волны перехода в особой точке. Наклон полученной прямой соответствует присутствующему внутри наночастиц статическому электрическому полю высокой напряженности ( $E \approx 2.8 \cdot 10^7$  В/см).

#### 4.2. Комбинационное рассеяние света

Симметрия кристаллической решетки кремния  $O_h$  определяет правила отбора при комбинационном рассеянии (КР) света на фононах. Разрешенными в КР являются два фона – ТО и LO, имеющие динамическую симметрию  $\Gamma^{(25+)}$  в точке  $\Gamma$  зоны Бриллюэна [12]; при этом они трижды вырождены по энергии и не могут быть разрешены в эксперименте ни при какой геометрии рассеяния. Геометрия рассеяния назад задавалась направлением распространения и поляризацией падающего и рассеянного лучей [12]. В нашем эксперименте поляризация падающего на образец луча оставалась постоянной, а анализатор в рассеянном излучении устанавливался либо параллельно  $[-x_{zzx}]$ , либо перпендикулярно  $[-x_{zyx}]$  поляризации падающего луча.

На рис.4 представлены экспериментальные кривые для КР света на ТО – LO-фононной моде: верхняя кривая

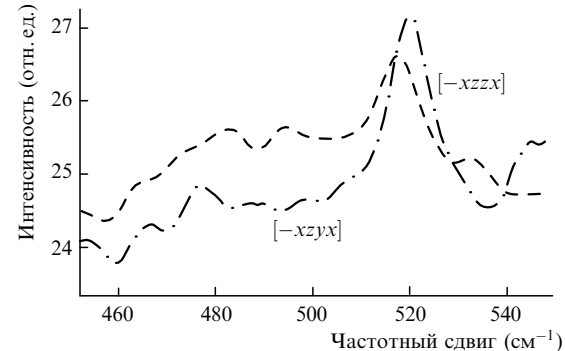


Рис.4. Спектры комбинационного рассеяния света на нанокристаллах кремния для двух различных геометрий.

соответствует геометрии рассеяния  $[-x_{zzx}]$ , а нижняя кривая – геометрии  $[-x_{zyx}]$ . Наблюдался сдвиг пика КР на 3 см $^{-1}$  при двух взаимно перпендикулярных положениях анализатора. Мы полагаем, что этот пик соответствует рассеянию на оптических фонах в частице с измененной симметрией кристаллической решетки.

Известно, что статические механические напряжения и электрическое поле могут изменить симметрию кристаллической решетки кремния [12, 13]. В нашем случае статические механические напряжения отсутствуют, поэтому естественно предположить наличие внутри наночастицы или в ее приповерхностной области сильного электрического поля, которое должно заметным образом изменить симметрию кристаллической решетки. При этом не только снимается вырождение ТО – LO-фононной моды по энергии, но и вследствие увеличения жесткости решетки по направлению постоянного электрического поля возникает сдвиг частоты фононов в синюю область. Сдвиг в синюю область спектра и расщепление пика КР, как мы полагаем, свидетельствуют о наличии внутри нанокристалла кремния сильного статического электрического поля.

В эксперименте мы наблюдали эволюцию спектров КР в ходе воздействия на образец нанокристаллов кремния излучения Не – Не-лазера. После длительного (порядка нескольких часов) облучения был зафиксирован сдвиг пика в область 522 см $^{-1}$ . Заметим, что интенсивность лазерного излучения была недостаточно велика (не превышала 15 мВт) для того, чтобы сильно нагреть образец и вызвать структурные изменения в кристаллической решетке нанокристалла или инициировать какие-либо фотохимические реакции. Отсутствие необратимой химической реакции доказывается также тем, что после пребывания в течение нескольких часов в темноте образец всегда возвращается в начальное состояние. Возможным объяснением такого поведения нанокристаллов кремния является перезарядка дефектов на границе полупроводника под действием лазерного излучения. Выявление природы этих дефектов требует дополнительных исследований.

#### 4.3. Локализация электрородов

При исследовании спектров оптического поглощения и КР в нанокристаллах кремния, помещенных в глицерин, было выявлено, что особенности поведения среды в оптическом диапазоне частот, а также фононные аномалии могут быть объяснены наличием сильного статического электрического поля внутри кремниевой частицы. Напряженность этого поля достигает  $(2 - 3) \cdot 10^7$  В/см.

Возможный механизм возникновения электрического поля внутри нанокристаллов кремния рассмотрен нами в [4]. В этой работе рассчитывалась напряженность внутреннего электрического поля, создаваемого эквидистантно расположенным на поверхности сферической частицы диполями. Диполи возникают при переходе электрона с кремния на кислород. Следует отметить, что большая напряженность постоянного электрического поля ( $E \sim 10^8$  В/см) вблизи слабо окисленной поверхности кремния наблюдалась ранее при изучении штарковского сдвига линии поглощения адсорбированных на этой поверхности молекул красителя [14].

Известно [10], что сильные электрические поля, приложенные к полупроводнику, приводят к динамической пространственной локализации возбужденных в зону проводимости полупроводника электронов (к блоховским осцилляциям). Электрон в зоне проводимости начинает ускоряться в электрическом поле. В сильных полях это приводит к тому, что в импульсном пространстве обратных векторов электрон движется в пределах нескольких зон и, как следствие, пространственно локализован. Мы оценили размеры области пространственной локализации электронов в приближении параболической зоны проводимости. Оказалось, что напряженность электрического поля  $E = 2.5 \cdot 10^7$  В/см приводит к локализации электрона в пределах одного периода кристаллической решетки кремния, т. е. в области с размерами около 0.5 нм. Из данной оценки следует, что вычисленное статическое электрическое поле внутри наночастицы ( $E = 2.8 \cdot 10^7$  В/см) способно удержать электрон вблизи рожденной дырки в валентной зоне.

С учетом корреляции относительного движения электрона и дырки коэффициент линейного поглощения  $\alpha$  при прочих равных условиях увеличивается настолько, насколько увеличивается плотность вероятности нахождения электрона на месте дырки по сравнению с состоянием, описываемым плоской волной. Для учета кулоновского взаимодействия электрона и дырки представляется естественным ввести (вслед за Эллиотом [15]) в выражение для  $\alpha$  весовой коэффициент, равный отношению плотности вероятности нахождения локализованного электрона в определенной точке координатного пространства к плотности вероятности нахождения электрона, описываемого блоховской волной, в той же точке. Это отношение зависит от размеров области локализации и может оказаться очень большим. В связи с этим неудивительным становится тот факт, что коэффициент поглощения в нанокристаллах вдвадцать раз превышает  $\alpha$  в объемном кристаллическом кремнии.

Очевидно, что увеличение коэффициента оптического поглощения – не единственный эффект, к которому приводит локализация электронов. Нам не известно об исследованиях локализации электронов в электрическом поле в трехмерных объектах типа нанокристаллитов. В то же время у полупроводниковых сверхрешеток локализация носителей заряда приводит к эффекту индуцированной прозрачности [16] и к высокому коэффициенту нелинейного поглощения [17].

## 5. Заключение

Измеренные высокие коэффициенты нелинейного поглощения  $\beta$  нанокристаллов кремния, введенных в глицериновую матрицу, говорят о том, что данная среда является перспективной для создания приборов нелинейной оптики с быстрыми временами переключения. Изучены оптические процессы, происходящие в такой среде. Обсужден механизм, ответственный за оптическое поглощение, высокую нелинейную восприимчивость и индуцированное просветление среды. Пока остается без ответа вопрос о том, насколько оправданно в данном случае применение математической модели, используемой для сплошной среды.

По нашему мнению, наиболее вероятным является присутствие внутри нанокристаллов кремния сильного статического электрического поля [4]. Вопрос же о том, чем вызваны такие большие поля – двойным электрическим слоем, возникающим вследствие ухода электронов из центра кремниевого нанокристалла на дефекты в окисле на поверхности этого нанокристалла, протонированием кремниевого нанокристалла за счет неполного разложения моносилана (исходного продукта для получения нанокристаллов) или существованием между кремнием и окислом промежуточной области – требует дальнейших исследований.

Авторы выражают благодарность В.И. Красовскому и В.Д. Шигорину за полезные обсуждения статьи. Работа выполнена при поддержке РФФИ (грант 00-02-17160-а).

1. Wang J., Jiang H., Wang W., Zheng J. *Phys.Rev.Letts*, **69**, 3252 (1992).
2. Vijayalakshmi S., George M.A., Grebel H. *Appl.Phys.Letts*, **70**, 708 (1997).
3. Днепровский В.С., Караванский В.А., Климов В.И., Маслов А.П. *Письма в ЖЭТФ*, **57**, 394 (1993).
4. Korovin S.B., Pustovoi V.I., Orlov A.N. *Proc.SPIE*, **4070**, 472 (1999).
5. Korovin S.B., Pustovoi V.I., Krinetskii B.B., Fadeeva S. *Proc.SPIE*, **4070**, 465 (1999).
6. Korovin S.B., Krasovskii V.I., Pustovoi V.I. *Proc.SPIE*, **4070**, 479 (1999).
7. Kuz'min G.P., Karasev M.E., Khokhlov E.M., Kononov N.N., Korovin S.B., Plotnichenko V.G., Polyakov S.N., Pustovoi V.I., Tikhonevitch O.V. *Proc.SPIE*, **4070**, 200 (1999).
8. Sheik-Bahae M., Said Ali A., Wei T.-H., Hagan D.J., van Stryland E.W. *IEEE J.Quantum Electron.*, **26**, 760 (1990).
9. Rustagi K.S., Flytzanis Ch. *Optics Letts*, **9**, 344, (1984).
10. Seraphin B.O., Bottka N. *Phys.Rev.*, **145**, 628 (1966).
11. Ансельм А.И. *Введение в теорию полупроводников* (М., Наука, 1978, с. 445).
12. Бирман Дж. *Пространственная симметрия и оптические свойства твердых тел* (М., Мир, 1978, т. 2, с. 247–249, с. 320).
13. Anastassakis E., Filler A., Burstein E. In: *Light scattering spectra of solids* (Berlin – Heidelberg – New York, Springer Verlag, 1969, p. 421).
14. Зайцев В.Б., Жидомирова С.Г., Плотников Г.С. *Хим. физ.*, **9**, 485 (1990).
15. Elliot R.J. *Phys.Rev.*, **108**, 1384 (1957).
16. Ignatov A.A., Romanov Yu.A. *Phys.Stat.Sol.(b)*, **73**, 327 (1976).
17. Schneider H., Kujiwara K., Grahn H.T. *Appl.Phys.Letts*, **56**, 605 (1990).